基于 ICEEMDAN-MI-PE 联合小波包阈值的 超声信号处理方法

孙 娇 ¹ 李松松 ^{1*} 陈晓明 ² 张佳淇 ¹ 刘 璇 ¹ SUN Jiao LI Songsong CHEN Xiaoming ZHANG Jiaqi LIU Xuan

摘要

针对超声兰姆波信号中的噪声干扰问题,文章提出了一种基于改进的自适应噪声完备集合经验模态分解(ICEEMDAN)、互信息(MI)、排列熵(PE)联合小波包阈值的信号处理方法。首先对信号进行ICEEMDAN模态分解得到有限数量的本征模态函数(IMF),然后根据互信息和排列熵值区分噪声、噪声主导和有用信号。最后将含噪分量经小波包阈值处理和有用信号进行重构,得到最终回波信号。利用仿真信号和实测信号进行实验分析,与自适应噪声完备集合经验模态(CEEEMDAN)进行对比,信噪比提高了33.53%,均方根误差降低了45.36%,有效抑制噪声干扰的同时保持了信号的完整性。

关键词

超声兰姆波; 互信息; 排列熵; 改进的自适应噪声完备集合经验模态; 小波包阈值

doi: 10.3969/j.issn.1672-9528.2025.07.019

0 引言

超声无损检测是一种通过向待测试件中发射超声波,并利用超声波与试件相互作用,以实现对试件内部宏观缺陷检测的技术。由于超声导波信号具有频散性和多模态性,且在检测过程中会受到不同程度噪声信号的干扰,导致接收到的回波信号非常复杂且信号的信噪比低,给信号的后期处理和评估缺陷带了误差,从而影响了无损检测结果的可靠性和精度的准确性。

在信号处理领域,存在小波变换、小波包分解、经验模态分解(EMD)、集合经验模态分解(EEMD)和完备集合经验模态分解(CEEMD)等方法^[1]。小波分析作为一种时域-频域多分辨分析方法,可以同时实现时域与频域高分辨局部定位^[2]。然而,小波变换只对信号低频成分实施更为精细的分解,而对于高频成分(细节部分)未能实现进一步的分解。针对该问题,吴金光等人^[3] 在 2023 年提出了小波包的概念,小波包分析可以同时对高低频部分进行分解。EMD 算法是一个筛分的过程,章佩佩等人^[4]提出了基于经验模态分解(EMD)来对非线性、非平稳性信号进行处理与分析,Boudraa等人^[5]将 EMD 运用到信号滤波中,通过筛选固有模态分量(IMF)对信号进行去噪,但消噪效果不太理想,然而 EMD 存在计算效率低,容易产生模态混叠的问题^[6],针对以上问题,Wu

[基金项目]国家自然科学基金资助项目(51778104);辽宁省教育厅科学研究项目(DL202005)

等人^[7] 提出了 EEMD 算法, 这是一种基于噪声辅助信号分析 的新方法, 其核心思想是通过在原始信号中多次叠加高斯白 噪声,利用高斯白噪声在频域上均匀分布的统计特性,改变 信号的极值点分布。随后,对每次添加不同幅度白噪声后得 到的本征模态函数进行总体平均,以抵消引入的白噪声影响, 从而有效缓解传统经验模态分解(EMD)中存在的模态混叠 问题。蔡帮贵等人^[8] 提出一种 EEMD 结合小波阈值的去噪 方法,该方法有效地去除了心电信号的噪声,并完整地保留 ORS 特征。针对 EEMD 存在计算效率低及重构精度不足等 问题, Yeh 等人[9]于 2010年提出了互补集合经验模态分解 (CEEMD),该改进方法通过在原始信号中同时引入幅值相等、 极性相反的白噪声对,利用噪声分量在集合平均过程中的相 互抵消特性,解决上述问题。贺昊然 [10] 利用 CEEMD 对微动 特征信号进行提取。为了解决集合平均过程中本征模态函数 分量对齐问题, Torres 等人[11]于 2011年对 CEEMD 进行了 改进,提出了自适应噪声的完整集合经验模态分解(CEEM-DAN)。该方法通过在分解过程中直接添加白噪声,减少了 筛选次数的同时降低了残余噪声。然而, CEEMDAN 分解过 程中包含残余噪声和"伪"模态,导致前几个 IMF 中包含大 量噪声与信号的混合成分。针对上述问题, Colominas 等人[12] 提出了改进的自适应噪声完备集合经验模态分解(ICEEM-DAN)。与 CEEMDAN 直接添加高斯白噪声不同,该方法 在分解过程中引入的是白噪声经 EMD 分解后的第 K 阶 IMF分量,有效解决了 CEEMDAN 中残留噪声和伪模态的问题, 从而进一步提升分解的精度和可靠性。ICEEMDAN 算法虽 然能解决残留噪声以及伪模态问题但容易造成有用信号的缺 失, 使得回波信号不完整。

^{1.} 大连海洋大学 辽宁大连 116000

^{2.} 大连理工大学 辽宁大连 116000

因此,本文提出了基于 ICEEMDAN-MI-PE 联合小波包 阈值的超声信号处理方法,首先使用 ICEEMDAN 算法对原始信号进行分解,得到一组 IMF 分量;其次采用互信息和排列熵判断含噪和无噪分量;最后选择小波包合适的阈值函数,去除含噪声分量,获取最终降噪后的超声回波信号。本文提出的方法不仅能提高效率,减少分解时间,在消噪的同时也尽可能地保留了原始信号的特征。

1 基本原理

1.1 ICEEMDAN 理论

ICEEMDAN 选取 EMD 分解后的第 $K \land IMF$ 分量 $E_k(\omega')$ 作为特殊的白噪声加入原始信号,接着通过逐层分解,每层分解后获得 1 个特有的残差 $r_i(t)$ 。因此,残余噪声降低的同时也消除了伪模态问题。

ICEEMDAN 的具体分解步骤 [15] 如下:

(1) 在原始信号f(t)中添加白噪声 $\omega^{(i)}$,添加第i个白噪声得到:

$$f_i(t) = f(t) + \beta_0 E_1(\omega^i) \tag{1}$$

式中: i为加入高斯白噪声次数, $i=1,2,\dots,I$ 。

先求第一个 IMF 分量,使用 EMD 分解计算第 i 个白噪声 $f_i(t)$ 的局部均值,并取平均值得到第一个残差 $r_i(t)$, $r_1(t) = \frac{1}{t} \sum_{i=1}^{t} M[X^{(i)}]$,此时IMF $_1 = f(t) - r_1(t)$ 。

(2) 在残差 $r_i(t)$ 的基础上添加白噪声 $\omega^{(i)}$,第 i 次加入白噪声的残差表达式为:

$$r_{1,i}(t) = r_1(t) + \beta_1 E_2(\omega^i)$$
 (2)

求第二个 IMF 分量, $r_2(t) = \frac{1}{l} \sum_{i=1}^{l} M\{[r_1(t) + \beta_0 E_2(\omega^i)]\},$ 此时IMF₂ = $r_1(t) - r_2(t)$ 。

- (3) 同理根据公式IMF_k = $r_{k-1}(t) r_2(t)$, 计算出第 K 个 IMF 分量,其中 $r_k(t) = \frac{1}{N} \sum_{i=1}^N M[r_{k-1}(t) + \beta_{k-1} E_k(\omega^i)]$ 。
- (4) 重复以上步骤直到残差 $r_n(t)$ 无法进行 EMD 分解为止,得到信号 f(t):

$$f(t) = \sum_{i=1}^{n} \text{IMF}_i + r_n(t)$$
(3)

式中: n 为分解得到 IMF 分量的个数。

1.2 互信息和排列熵算法

1.2.1 互信息

互信息(mutual Information, MI)是信息论中的一个重要概念,用于量化两个随机变量之间的统计依赖关系。对于两个离散的随机变量 X和 Y,其定义 [16] 为:

$$I(X;Y) = \sum_{y \in Y} \sum_{x \in Y} p(x,y) \log \left(\frac{p(x,y)}{p(x)p(y)} \right)$$
 (4)

在连续随机变量的情形下,求和被替换成了二重积分:

$$I(X;Y) = \int_{Y} \int_{X} p(x,y) \log \left(\frac{p(x,y)}{p(x)p(y)} \right) dxdy$$
 (5)

式中: 联合概率密度函数 p(x,y) 描述了随机变量 X 和 Y 的共同分布特性,而边缘概率密度函数为 p(x) 和 p(y)。此外,互信息还可以表示为:

$$I(X;Y) = H(X,Y) - H(X|Y) - H(Y|X)$$
(6)

1.2.2 排列熵

排列熵(permutation entropy, PE)是由 Bandt 在文献 [17] 中提出能够定量评估信号序列中含有的随机噪声的算法,其运算过程如下:

对一组长度为N的时间序列X进行相空间重构,通过时间延迟嵌入法将其映射到高维相空间中得到重构矩阵Y。

$$\begin{bmatrix} x(1)x(1+\tau)...x[1+(m-1)\tau] \\ x(2)x(2+\tau)...x[2+(m-1)\tau] \\ x(j)x(j+\tau)...x[j+(m-1)\tau] \\ \vdots \\ x(K)x(K+\tau)...x[K+(m-1)\tau] \end{bmatrix}$$
(7)

式中: K=N-(m-1)t; $j=1,2,\dots,K$; m 为维数; t 为时间。对矩阵 Y 的每一行按升序重新排列,并记录排序前下标顺序得到符号序列,用公式表示为:

$$S(l) = \{j_1, j_2, ..., j_m\}, l = 1, 2, ..., k \perp k \le m!$$
(8)

统计每一行的下标顺序出现的次数 /m!,作为该行的概率,即 $\{P_1, P_2, \dots, P_k\}$,时间序列 X 的排列熵的计算公式为:

$$H_{\text{pe}} = -\sum_{i=1}^{k} P_i \ln \left(P_i \right) \tag{9}$$

 H_{pc} 大小能够表征 X 的随机程度及复杂程度: 越小表明时间序列具有更强的规律性特征,其结构组成相对简单;越大则反之。经研究本文设置 m=3, t=1。

1.3 小波包阈值

小波包能同时分解信号中低频与高频成分,有更精细时 频局部分析能力。因此小波包阈值广泛被应用在信号处理领 域,具体步骤如下:

- (1) 最优小波包基的选取:根据兰姆波频散特性选择小波基函数 sym4,最优分解层数为 2。
- (2)小波包分解系数阈值处理:采用适当的阈值方法,对小波包分解得到的高频和低频系数进行阈值化处理,以抑制噪声并保留有效信号成分。
- (3) 信号的小波包重构:对阈值化后的信号分量通过小波包逆变换进行重构。

在小波包阈值分析中,阈值 λ 的选取尤为重要。如果 λ 选取过大,则有用信息丢失严重;反之则噪声滤除不完全,效果变差。因此,选取的 λ 应大于噪声最大水平 $\sigma\sqrt{2\ln N}$ 。所以通常选取 $\lambda = \sigma\sqrt{2\ln N}$,在实际应用中应用小波系数估计噪声强度, $\sigma = \mathrm{median}(\sigma_j(k))/0.6745$,根据此原理,本文选择 $\lambda = \frac{\sigma_j\sqrt{2\ln N}}{\ln{(j+1)}}$,其中 σ_j 为第j层小波系数标准方差。阈值函数包括硬阈值和软阈值两种方法,其表达式为:

硬阈值函数表达式为:

$$\widehat{\omega} = \begin{cases} \omega, & |\omega| \ge \lambda \\ 0, & |\omega| < \lambda \end{cases}$$
 (10)

软阈值函数表达式为:

$$\widehat{\omega} = \begin{cases} 0, & |\omega| < \lambda \\ \operatorname{sgn}(\omega)(|\omega| - \lambda), & |\omega| \ge \lambda \end{cases}$$
 (11)

式中: α 表示经过处理后得到的小波系数; ω 表示小波系数; λ 表示给定阈值。

由此可以看出,硬阈值函数连续性差,易发生振荡,造成信号失真。因软阈值函数不可导性,致 ω 与 $\hat{\omega}$ 之间存在系统性误差。结合硬阈值和软阈值函数的优缺点,本文选择硬阈值函数进行分析。

1.4 ICEEMDAN-MI-PE 联合小波包阈值去噪

本文提出的一种基于 ICEEMDAN-MI-PE 联合小波包阈值的超声信号处理技术,结合 ICEEMDAN 消除模态混叠和伪模态,MI-PE 更好地区分 IMF 分量,小波包可以分解高低频分量的特点,不仅减少了分解时间,提高了分解效率,并且消噪的同时有效地保留了原始信号的特征。本文流程图如图 1 所示。

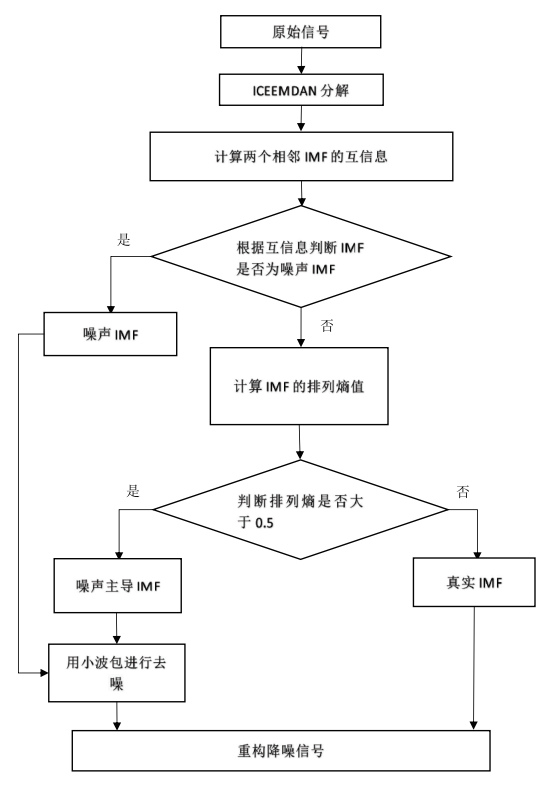


图 1 本文方法流程图

具体操作步骤如下:

- (1) 对信号进行 ICEEMDAN 分解,得到有限数量的 IMF。
 - (2) 采用互信息和排列熵判断噪声分量和有用分量。
- (3)选择小波包合适的阈值函数去除噪声和噪声主导分量。
- (4) 重构经小波包阈值处理的含噪分量和有用分量, 得到最终兰姆波信号。

2 实验验证

2.1 仿真信号处理

根据超声无损检测信号的一般调频模式,建立 f(t):

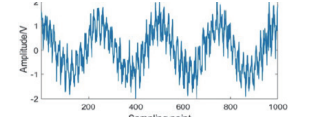
$$f(t) = v_1 + v_2 + v_3 + 0.3 \times \text{randan}(\text{size}(v_1))$$
 (12)

$$v_1 = \cos(2\pi \times \omega_1 \times t) \tag{13}$$

$$v_2 = \cos(2\pi \times \omega_2 \times t) \tag{14}$$

$$v_3 = \cos(2\pi \times \omega_3 \times t) \tag{15}$$

仿真信号的采样频率为 10 kHZ, 主要包括 3 个频率分量: ω_1 =4 Hz、 ω_2 =54 Hz、 ω_3 =164 Hz,randan(size(ν_1)) 作 为 噪 声加入信号中,仿真信号及其频谱图如图 2 所示。



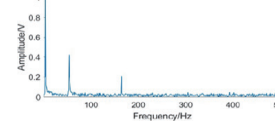
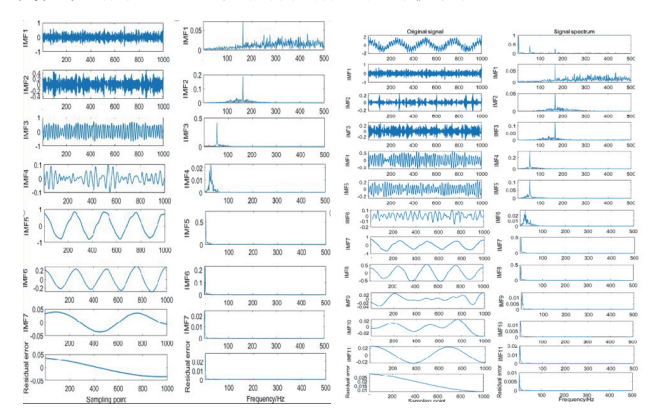


图 2 仿真信号及其频谱图

原信号 f(t) 经 CEEMDAN 和 ICEEMDAN 分解后的结果如图 3 所示,其中 CEEMDAN 和 ICEEMDAN 中添加的白噪声幅度分别为 0.6 和 0.9,分解次数分别为 90 和 70,最大迭代次数均为 5 000,以确保分解过程的收敛性。



(a) CEEMDAN 方法

(b) ICEEMDAN 方法

图 3 两种方法的分解图及频谱图

从图 3(a)看出,本征模态分量存在许多虚假模态,而且分解的数量也较多,然而,与 CEEMDAN 分解相比,ICEEMDAN 分解能够更有效地将仿真信号分解为不同尺度且数量更少的 IMF,解决了 CEEMDAN 中存在的伪模态问题,提高了运算的效率。

表 1 是两个相邻 IMF 之间的互信息,根据两个有噪声的 IMF 的 MI 明显小于两个无噪声的 IMF 的 MI,得到 IMF_1 为噪声分量,表 2 是计算剩余的 IMF 排列熵值。

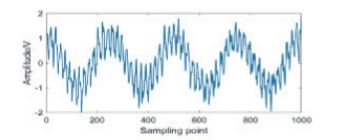
表 1 两个 IMF 之间的互信息

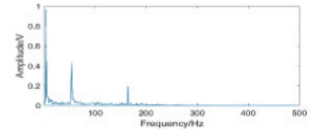
MI_1	MI_2	MI_3	MI_4	MI_5
0.165 1	0.035 6	1.018 9	0.064 7	0.167 0

表 2 IMF 的排列熵值

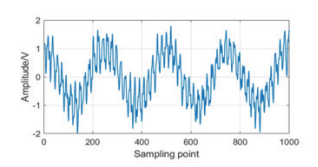
IMF ₁	IMF_2	IMF ₃	IMF_4	IMF_5	IMF_6	IMF ₇
0	0	0.624 4	0.618 9	0.513 0	0.418 4	0.418 2

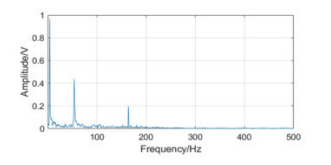
经过多次演算,选取 PE > 0.5 的 IMF 为噪声主导分量。 然后用小波包阈值对含噪分量进行处理,将处理后的信号与 有用信号进行重构,如图 4 所示。



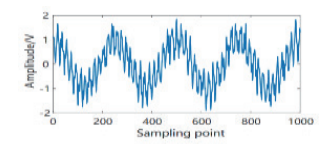


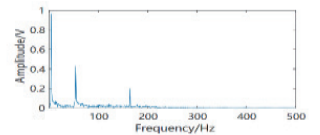
(a) CEEMDAN 重构图及频谱图





(b) ICEEMDAN 重构图及频谱图





(c) ICEEMDAN-MI-PE-WPT 重构图及频谱图

图 4 仿真信号重构图及频谱图

根据图 4 看出,经 CEEMDAN 分解的重构信号,无法保留原始信号的波形趋势以及完整性,分解效果不太好。经 ICEEMDAN 分解在小波包处理的重构信号,波形的趋势与原始信号基本一致,且相比于前者波形更加平滑。

为更有效地评估降噪效果,可以通过比较降噪信号与原始信号之间的相似性。本文用信噪比(SNR)和均方根误差(RMSE)作为评价指标,对降噪性能进行比较。

SNR 定义:

$$SNR = 20 \times \log 10(\text{norm}(n)/\text{norm}(m-n))$$
 (16)

RMSE 定义:

RMSE =
$$\sqrt{\frac{\sum_{i=1}^{N} (m-n)^2}{N}}$$
 (17)

式中:n为原始信号;m为重构信号;N为采样点数。

通常信噪比越大,信号占比越大,处理效果越明显,均 方根误差恰好相反。采用式(16)~(17)计算图 4 三种算 法重构信号的 SNR 和 RMSE,如表 3 所示。

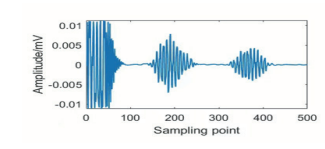
表 3 三种算法比较

评价方法	CEEMDAN	ICEEMDAN	ICEEMDAN-MI-PE-WPT
SNR	10.041 2	11.348 8	11.585 9
RMSE	0.089 8	0.083 3	0.082 2

从表 3 看出,相比其他 2 种方法,本文方法 SNR 在三者中最高,且 RMSE 最小,因此降噪效果是最好。

2.2 实测信号处理

采用由超声换能器激发的实测信号验证。兰姆波是在 1 mm 铝板表面及内部传播,并且遇到边界时发生反射最终形成的信号,激发频率为 657 kHz,如图 5 所示。



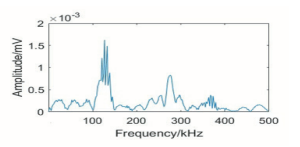
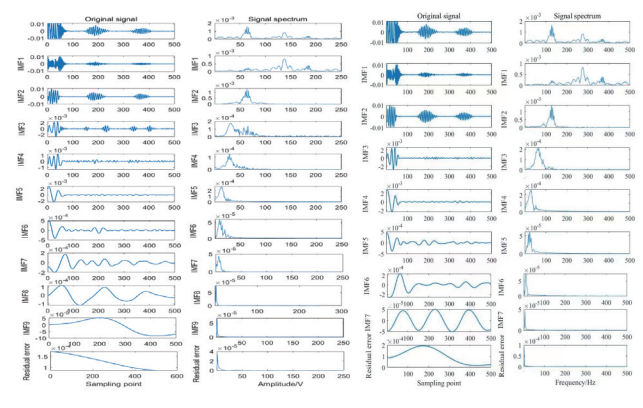


图 5 电磁超声采集实测信号

实测信号分别通过 CEEMDAN 和 ICEEMDAN 进行处理, 得到如图 6 所示的分解图和频谱图。



(a) CEEMDAN 方法

(b) ICEEMDAN 方法

图 6 两种方法分解图及其频谱图

根据图 6 看出,与 CEEMDAN 分解相比, ICEEMDAN 分解会产生更少的 IMF 分量,因此降低了运算的时间,提高了运算效率。接下来计算各个 IMF 分量之间的互信息和排列熵,具体数值如表 4 和表 5 所示。

表 4 IMF 之间的互信息

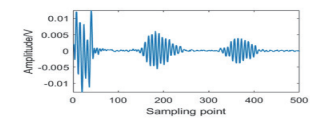
MI_1	MI_2	MI_3	MI_4	MI_5	MI_6	MI_7
0.2190	0.362 1	0.504 9	0.473 7	0.505 0	0.732 8	1.178 3

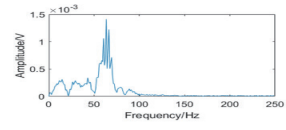
由表4可知,IMF2是噪声分量和噪声主导分量的分界点。

表 5 IMF 的排列熵值

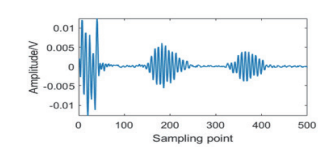
IMF_1	IMF_2	IMF_3	IMF_4	IMF_5	IMF_6	IMF_7
0	0.852 9	0.726 9	0.584 6	0.504 7	0.433 6	0.407 2

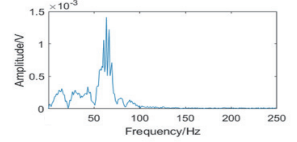
由表 5 可知, IMF_5 是噪声主导分量和有用信号分量的分界点,本文按照选择的阈值及阈值函数将 $IMF_1 \sim IMF_5$ 进行小波包阈值处理得到重构信号如图 7 所示。



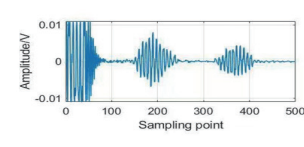


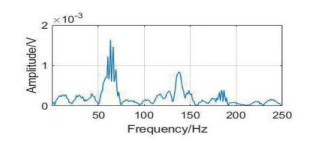
(a) CEEMDAN 重构图及频谱图





(b) ICEEMDAN 重构图及频谱图





(c) 本文方法重构图及频谱图

图 7 三种算法的实测信号重构图

由图 7 可以看出,相比其他两种算法,本文方法信号处理的效果最明显,提升了平滑度,有效减少了超声信号因降噪引发的失真并且保留了实测信号的波形,弥补了 CEMDAN 高频有用信息的不足。表 6 为 3 种算法重构信号的 SNR 和 RMSE。

表 6 三种算法比较

评价方法	CEEMDAN	ICEEMDAN	ICEEMDAN-MI-PE-WPT
SNR	22.425 1	22.593 9	33.741 2
RMSE	0.009 7	0.009 6	0.005 3

经计算,采用 ICEEMDAN-MI-PE-WPT 处理后重构信号的信噪比为 23.259 5,相较于 CEEMDAN 和 ICEEMDAN 分别提高了 0.656 4 dB、0.215 1 dB。均方根误差是四者中最小值,信号最为稳定。因此本文降噪方法最优。

3 结论

针对超声兰姆波信号中的噪声干扰问题,本文提出了一种基于改进的自适应噪声完备集合经验模分解(ICEEMDAN)、互信息(MI)、排列熵(PE)联合小波包阈值的方法。首先用 ICEEMDAN 分解得到有限数量的IMF, 其次 MI-PE 区分含噪分量,最后小波包阈值进行降噪处理,具体结论如下:

- (1) ICEEMDAN 分解,去除伪模态提高了分解速度。 MI-PE 比相关系数法选取 IMF 更精确。
- (2) 小波包阈值比小波阈值具有更加精细的局部分析能力。因能同时分解高低频使得信号的有用信息完整。
- (3) 采用 CEEMDAN 和 ICEEMDAN 与本文方法相比, 本文所提方法的信噪比最高,均方根误差最低,降噪效果最优。

参考文献:

- [1] 李诗楠,凌威,梁竹关,等.基于 ICEEMDAN 与小波包分解的脉搏信号联合去噪[J]. 电子测量技术,2022,45(18):41-48.
- [2] 程海林, 孙杰, 马冉冉, 等. 光谱测量数据降噪处理滤波器设计 [J]. 天津理工大学学报, 2012, 28(1): 45-50.
- [3] 吴金光,王凝碧.基于小波包变换的谐波检测仿真分析[J]. 工业控制计算机,2023,36(3):48-50.

- [4] 章佩佩. 超声无损检测信号处理方法的研究 [D]. 淮南:安徽理工大学,2018.
- [5] BOUDRAA A O, CEXUS J C. EMD-based signal filtering[J]. IEEE transactions on instrumentation and measurement, 2007, 56(6): 2196-2202.
- [6] SINGH D S, ZHAO Q. Pseudo-fault signal assisted EMD for fault detection and isolation in rotating machines[J]. Mechanical systems and signal processing, 2016, 81: 202-218.
- [7]WU Z H, HUANG N E. Ensemble empirical mode composition: a noise-assisted data analysis method[J]. Advances in adaptive data analysis, 2011, 1(1): 1-41.
- [8] 蔡帮贵,朱雨男,王彪. EEMD 与改进小波阈值结合应用于心电信号去噪研究 [J]. 现代电子技术, 2023, 46(12): 137-140.
- [9] YEH J R, SHIEH J S, HUANG N E. Complementary ensemble empirical mode decomposition: a novel noise enhanced data analysis method[J]. Advances in adaptive data analysis, 2010, 2(2): 135-156.
- [10] 贺昊然. 基于 CEEMD 的人体微动信息提取信号处理方法 [J]. 工业控制计算机, 2023, 36(3): 66-69.
- [11] TORRES M E, COLOMINAS M A, SCHLOTTHAUER G, et al. A complete ensemble empirical mode decomposition with adaptive noise[C]//2011 IEEE International Conference on Acoustics, Speech and Signal Processing (ICASSP). Piscataway: IEEE, 2011:4144-4147.
- [12] COLOMINAS M A, SCHLOTTHAUER G, TORRES M E. Improved complete ensemble EMD: a suitable tool for biomedical signal processing[J]. Biomedical signal processing and control,2014,14: 19-29.
- [13] 曹焱,赵斌,邢志明,等.基于 ICEEMDAN 与样本熵的脑 血氧信号去噪方法研究 [J]. 电子科技,2024,37(6):44-50.
- [14] DUNCAN T E. On the calculation of mutual information[J]. SIAM journal on applied mathematics, 1970, 19(1): 215-220.
- [15] LI C W, ZHAN L W, SHEN L Q. Friction signal denoising using complete ensemble EMD with adaptive noise and mutual information[J]. Entropy, 2015,17(9):5965–5979.
- [16] BANDT C, POMPE B. Permutation entropy: a natural complexity measure for time series[J]. Physical review letters, 2002, 88: 174102.

【作者简介】

孙娇(2000—),女,山东潍坊人,硕士研究生,研究方向:无损检测信号处理。

李松松 (1973—), 通信作者 (email:lisongsong@dlou.edu.cn), 女, 辽宁丹东人, 博士, 教授, 研究方向: 超声无损检测技术及信号处理技术。

(收稿日期: 2025-02-23 修回日期: 2025-07-01)